

前田建設 正会員 山田一宇
 東京電力 正会員 前田 弘
 東電設計 正会員 佐野俊輔

1. 考え方

いかり材式鉄筋基礎の設計方法を確立するため、小型模型による実験を行い既往の提案式と比較したが十分に耐力を確定できる算定式は存在しない。これは本基礎体が従来のスラブやフーチングと異なり主脚跡からいかり材をとめて圧縮力や引張力を杭に伝達するため破壊パターンが異なるためと思われる。それ故このように特殊な状態における耐力算定式を改ためて提案する必要性が生じた。本報告では耐力算定式を導くため、模型縮尺を大きくし、破壊メカニズムを知るために従来のパラメータを单纯化して詳細な検討を行った。また本基礎体の破壊パターンから押し抜きせん断破壊は曲げモーメントの大きさに影響されいるように思われるためせん断面に曲げモーメントが作用した場合の耐力試験も合わせて行った。

2. 試験体の形状寸法および実験パラメータ

実験に用いた試験体は図-1(NO4試験体)に示すようなものであり、1辺が128cm、厚さ23.8cmの試験体が3体、厚さ26.6cmの試験体が1体、1辺が168cm、厚さ23.8cmの試験体が1体の計5体である。しかし、いかり材は一字型、十字型、円板の3種類である。また、Push-off試験体は図-2に示すようにせん断面が15×30cm²であり1mのアームにより曲げモーメントを作成させた。本基礎体の押し抜きせん断はコンクリートの引張ゾーンのみで抵抗されるようであるため、せん断面の圧縮ゾーンに0.2mmのプラスナック板2枚をグリースではさんで埋込み圧縮側でのせん断抵抗が観察できるよう試験体とした。

3. 実験結果および考察

3-1 本試験体におけるスパンの仮定

従来杭に支持された構造物では、スパンを杭中心間隔と考えて設計していたが、本試験体のように杭径や杭間隔に比べ、スラブ厚が大きい場合には、アーチビームのような挙動が考えられる。しかしこれらについては未だ十分に解明されておらず正確に鉄筋の応力を求めることは困難であると思われるため、ここでは実験的に正確な応力が求まるスパンを得ようと試みた。種々の鉄筋ゲージの値より仮想スパンは杭の外側とした。

3-2 ひびわれ発生および最終破壊パターン

ひびわれ発生状況および最終破壊パターンを図-3(NO7試験体)に示す。同図中の数字はひびわれ発生荷重であり、斜線部は最終耐力時コンクリートが押し抜きせん断のよう形で抜け出して来た部分である。また破壊面を削り出してみると図-4のようせん断面をしており(NO.7 NO.5試験体)。各試験体の最終耐力および試験体の特徴を表-1にまとめ表示する。各試験体の耐力試験結果より次のことが判断された。

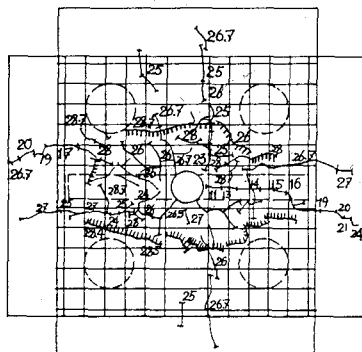


図-3 NO.7 試験体破壊パターン

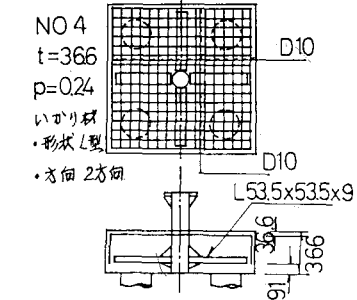


図-1 NO.4 試験体

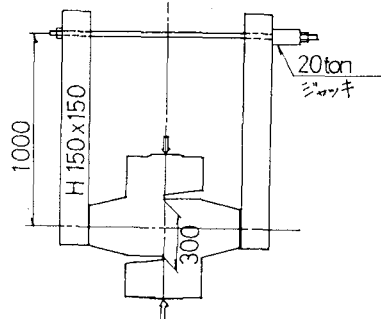


図-2 Push-off型試験体

ひびわれ発生はすべてひかり材真上かスパン中央に入りこれらはすべて曲げモーメントにより発生するものと思われた。その後は荷重の増加にともなうひびわれ幅は変化はなく、最大荷重の7~8割になると、放射状のひびわれが多數発生した。しかし、これらのひびわれのいずれもが押し抜きせん断とはならず最終的には前述の斜線の部分で破壊した。最大耐力が最終的に破壊面の抵抗により決まるものとすれば、図-4の破壊面についてせん断抵抗を考察すればよいことになる。全試験体の削り面の勾配の測定よりこの勾配(せん断スパン/有効高さ)の比で表せば、図-5のようす直線関係が得られる。

次に曲げモーメントを伴うせん断伝達について述べる
山田らは、せん断面でのせん断伝達は、鉄筋比が小さい場合には最終耐力時には降伏し T_{max}/T_{0cu} と $(P_{0sy}-\sigma_N)$ とは一次比例するとしてある。ここに σ_N は外力としてせん断面に作用する鉛直応力であるが、図-2のように試験体で曲げを作用させた場合にも、鉄筋力をコンクリートの引張側面積で除いた平均的 σ_N で代表させて耐力算定してもほぼよき一致を示したため曲げが作用していると山田らの式が適用出来るものといふ。

3-3 耐力算定式の提案

破壊面は図-6のように仮定し曲げモーメントによる引張応力の算定位置及びせん断面の位置はひびわれ間($a \cot \theta$)の中心とする。せん断面に作用する鉛直応力は前述の仮定に基づく(1)である。

$$\sigma_N = \frac{0.8 \cdot A_s}{(H-x)B} = \frac{P(l-a \cot \theta)}{8(H-x)Bjd} = \frac{P(l-a \cot \theta)}{8\left\{H-\frac{\pi A_s}{B}\left[1+\sqrt{1+\frac{2Bd}{\pi A_s}}\right]\right\}jdB} \quad (1)$$

仮想せん断面にひびわれが付する場合の山田らの式は(2)式である

$$\frac{\sigma_m}{\sigma_{0cu}} = \alpha (P_{0sy} - \sigma_N) + \beta \quad (\text{ここで } P_{0sy} = \sigma_{0sy}) \quad (2)$$

十文字ひかり材での押し抜きせん断面積は図より $A_c = 4a^2 \cot \theta$

$$P = A_c T_m \text{ より } P \text{ を求めよ。}$$

$$A = 4a^2 \cot \theta \cdot \sqrt{0.4v} \quad C = 8\left\{H-\frac{A_s}{B}\left[1+\sqrt{1+\frac{2Bd}{\pi A_s}}\right]\right\} j \cdot d \cdot B$$

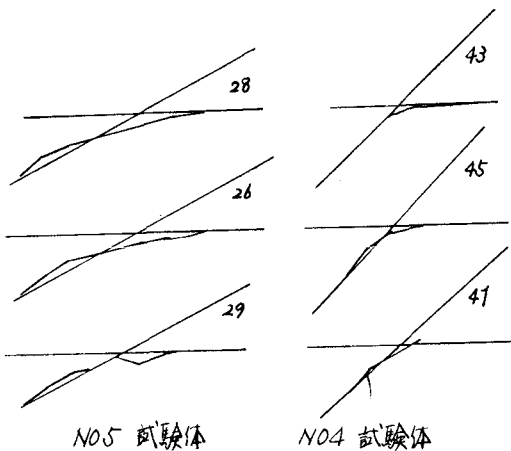
$F = l - a \cot \theta$ とおけば

$$P = \phi \frac{4\{dP_{0sy} + \beta\}}{1 + \alpha \frac{AF}{C}} \quad \therefore \alpha = 0.046 \quad \beta = 2.46 \quad \phi = \text{低減係数}$$

この式を $1/2$ 模型に適用してところよき一致を示した。

なお本研究は東京大学岡村教授の御指導により行なつたものであり厚くお礼申上げます。

参考文献; 1) 山田, 内田, 渡部 “面外せん断耐力評価に対する研究” 前田建設技術研究所報, VOL. 21, 1980



NO.5 試験体

NO.4 試験体

図-4 破壊面の勾配

表-1 試験体の種類

NO	ひかり材	スパン	厚さ	耐力
1	一文字	25 cm	23.8	28.7 ton
2	円板	"	"	30.0
3	十文字	"	"	40.98
4	十文字	"	36.6	"
5	十文字	115	23.8	28.2

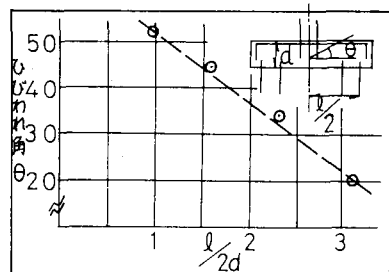


図-5 試験体の種類と破壊面の勾配

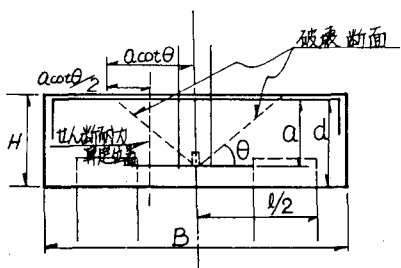


図-6 破壊面の仮定